

長崎大学工学部 ○正員 内林隆敏

" 学生員 神原 隆

" 学生員 遠木英一郎

1 序論 橋梁の走行荷重による応答解析に関しては、従来多くの研究がなされてきた。最近再び、路面の不規則な凹凸を考慮した応答解析として研究されている。この解析は、路面の凹凸を実測から求めたパワースペクトラムを有する確率過程と考え、これを外力とする車両橋梁系を不規則振動論の手法によりなされる。ところが、車両橋梁系を記述する運動方程式は時変係数の微分方程式で記述されるので、路面の凹凸による応答は非定常過程になる。従来の不規則振動論による手法では、このような時変係数を有する系の解析を行うために、何らかの仮定をしなければならない。本研究では、時間微分を有し、なおかつ実測のパワースペクトラムを有する確率過程を得るために、白色雑音過程を入力とする系を導入することにより、この外力系と車両橋梁系を一つの系と考え、伊藤形の確率微分方程式で表現する。これより共分散を誘導するための基礎式を誘導した。さらに、初期条件として、路面の凹凸によって車両の応答が定常になると、た時の値を用いることにより、これを考慮した解析を行った。さらに、この解析の妥当性を検討するために、定常応答について従来の解析との比較をしたが、その結果両者の一致が確認できた。

2 運動方程式および路面の凹凸 図1に示したような、1自由度系と仮定した走行荷重が橋梁を通過する際の運動方程式について述べる。橋梁のx軸の変位を $y(x, t)$ 、車両の変位を $Z(t)$ 、さらに路面の凹凸を $n(t)$ とすると、車両の運動方程式は次式で得られる。 $\bar{W}\ddot{Z}(t) + C(\dot{Z}(t)) - \bar{y}(x, t) - \bar{n}(t) + R(Z(t)) - y(x, t) - n(t) = 0$  (1) ここに、 $\bar{W}$ : 車両ばね上質量、 $C$ : 減衰係数、 $k$ : ばね定数、車両の全接地力を $R(t)$ とすると、これは次式になる。

$$P(t) = \bar{W}\ddot{Z} - \bar{W}\ddot{y}(t) \quad (2)$$

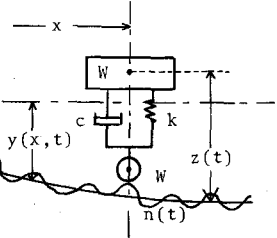


図 1

橋梁のモデルとして梁モデルを考える。この梁のn次の基準関数を $\phi_n(x)$ 、基準座標を $g_n(t)$ とすると、梁の変位は次式になる。

$$y(x, t) = \sum_{n=1}^{\infty} \phi_n(x) g_n(t) \quad (3)$$

$\ddot{g}_n(t) + 2\zeta_n \omega_n \dot{g}_n(t) + \omega_n^2 g_n(t) = \phi_n(x) P(t) / M_n^* \quad (4)$  ただし、 $\zeta_n$ 、 $\omega_n$  は各々減衰定数および固有円振動数であり、 $M_n^*$ は次式で示される量である。  $M_n^* = \int_0^L \phi_n(x) dx \quad (5)$

次に路面の凹凸について述べる。路面凹凸のパワースペクトラムは実験により次式になることが知られている。

$$S_R(\Omega) = \alpha \Omega^{-m} \quad (6)$$

走行速度を一定とすると、 $\Omega = \omega / 2\pi$  であるので、(6)式は次式になる。

$$S_R(\omega) = \alpha \omega^{m-1} (\omega / 2\pi)^{-m} \quad (7)$$

(7)式において、べき指数 $m$ を2.0、 $\alpha$ を $10^{-3} \text{ cm}^2/\text{m/C}$

とする。ところが、(7)式のパワースペクトラムは $m$ が小さくなると極めて大きくなるので、(7)式の代わりに、次式で示されるパワースペクトラムを用いる。  $S_R(\omega) = S_0 / (\omega^2 + \omega_0^2) \quad (8)$  ただし、 $S_0 = (2\pi)^2 \alpha \nu$ 、 $\nu$ は実験的に求められるパラメーターである。(8)式は白色雑音過程が作用する一階の微分方程式の定常解過程のパワースペクトラムとして得られる。  $\dot{n}(t) + \alpha n(t) = W(t) \quad (9)$   $W(t)$ は平均値0、分散 $S_0$ をもつ白色雑音過程である。

3 共分散方程式について 外力 $W(t)$ を受ける系の運動方程式は、一般に次式で表わされる。

$$\ddot{\mathbf{x}}(t) = \mathbf{A}(t)\mathbf{x}(t) + \mathbf{W}(t) \quad (10)$$

ここに、 $\mathbf{x}(t)$ 、 $\mathbf{W}(t)$ : ル次数ベクトル、 $\mathbf{A}(t)$ :  $(n)^2$  の係数行列、 $\mathbf{W}(t)$ は次式で示されるル次数の白色雑音過程ベクトル。 $E[\mathbf{W}(t)] = 0$   $E[\mathbf{W}(t)\mathbf{W}(t)^T] = Q(t)\delta(t-t)$  (11)

ところで、(10)式の解は線形微分方程式の理論より次式になる。 $\mathbf{x}(t) = \mathbf{A}(t, t)\mathbf{x}(t) + \int_t^t \mathbf{A}(t, \tau) \mathbf{W}(\tau) d\tau \quad (12)$

ただし、 $\Lambda(t, \tau)$  は  $(m \times n)$  の状態遷移行列、 $\Lambda(t, \tau)$  の性質は次に示す。 $\dot{\Lambda}(t, \tau) = A(t)\Lambda(t, \tau)$ 、 $\Lambda(\tau, \tau) = I$  (単位行列)、 $\Lambda(t, \tau)^{-1} = \Lambda(\tau, t)$ 、 $\Lambda(t_1, \tau) = \Lambda(t_2, \tau)\Lambda(t_1, t_2)$

(i)  $\dot{X}(t)$  の期待値  $E[\dot{X}(t)] = \Lambda(t, \tau)E[X(\tau)]$  (ii)  $\dot{X}(t)$  の共分散  $R_X(t) = E[(\dot{X}(t) - E[\dot{X}(t)])(\dot{X}(t) - E[\dot{X}(t)]^T]$  (13) (14) (6)(7)(8)式より次式を得る。 $R_X(t) = \Lambda(t, \tau)R(\tau)\Lambda(t, \tau)^T + \int_{\tau}^t \Lambda(t, \theta)Q(\theta)\Lambda(t, \theta)^T d\theta$  (15) (15)式より次の共分散方程式が得られる。

$$\dot{R}_X(t) = A(t)R_X(t) + R_X(t)A(t)^T + Q(t) \quad (16-1)$$

$$\text{初期条件 } R_X(t) = E[\dot{X}(t)\dot{X}(t)^T] = (2) \quad (16-2)$$

4 基礎方程式の説明 橋梁を 1 自由度系と仮定し、次式のような状態ベクトルを用いると、橋梁、車両路面凹凸に関する式は、次式で記述される  $X(t) = \{g_1, g_2, Z_1, Z_2, Z_3\}^T$  (17)

ここに、 $Z_3$  は(9)式の  $\eta(t)$  である。 $\dot{X}(t) = A(t)X(t) + D(t)W(t)$  (48)

$A(t)$ : 係数行列、 $D(t)$ 、 $W(t)$ : 外力に関する行列およびベクトルである。 $X(t)$  を橋梁系  $Y(t)$  と車両系  $Z(t)$  に分離すると、(48)式の行列およびベクトルは次式で表わされる。

$$X(t) = \begin{bmatrix} Y(t) \\ Z(t) \end{bmatrix} \quad A(t) = \begin{bmatrix} A_{Y1}(t) & A_{Y2}(t) \\ A_{Z1}(t) & A_{Z2}(t) \end{bmatrix} \quad D(t) = \begin{bmatrix} D_{Y1}(t) & D_{Y2}(t) \\ D_{Z1}(t) & D_{Z2}(t) \end{bmatrix} \quad W(t) = \begin{bmatrix} W(t)_Y \\ W(t)_Z \end{bmatrix} \quad (19)$$

$X(t)$  の共分散を  $R_X(t)$  とすると、これは次式のように分割される。さらに  $W(t)$  の共分散  $S_W$  は(2)式で表わされる。

$$R_X(t) = \begin{bmatrix} R_{YY}(t) & R_{YZ}(t) \\ R_{ZY}(t) & R_{ZZ}(t) \end{bmatrix} \quad (20)$$

$$S_W = \begin{bmatrix} S_Y & S_{YZ} \\ S_{ZY} & S_Z \end{bmatrix} \quad (21)$$

運動方程式 (10) と共分散方程式 (16) の対応より、(19)式で表わされる運動方程式により、次の共分散方程式が得られる。共分散行列  $R_X(t)$  は対称行列であるので、

独立な方程式は、その三角要素で記述される。ここでは、 $D_{Y2}(t)$ 、 $D_{Z2}(t)$ 、 $S_{YZ}$ 、 $S_{ZY}$ 、 $S_Z$  は各々 0 となる。

$$\begin{aligned} R_{YY}(t) &= A_{Y1}(t)R_{YY}(t) + A_{Y2}(t)R_{YZ}(t) + R_{Y1}(t)A_{Y1}(t)^T + R_{Y2}(t)A_{Y2}(t)^T + D_{Y1}(t)S_YD_{Y1}(t)^T \\ R_{YZ}(t) &= A_{Y1}(t)R_{YZ}(t) + A_{Y2}(t)R_{Z2}(t) + R_{Y1}(t)A_{Z1}(t) + R_{Y2}(t)A_{Z2}(t)^T + D_{Y1}(t)S_YD_{Z1}(t)^T \\ R_{ZY}(t) &= A_{Z1}(t)R_{YZ}(t) + A_{Z2}(t)R_{Z2}(t) + R_{Z1}(t)A_{Y1}(t) + R_{Z2}(t)A_{Y2}(t)^T + D_{Z1}(t)S_ZD_{Y1}(t)^T \end{aligned}$$

$$\text{自動車が橋梁に進入する際、自動車は路面の凹凸により} \quad \dots \quad (22)$$

定常状態に達していると考えられるので、この共分散を  $R_Z(t)$  の初期条件として用いる。他の値  $R_Y(t)$  および  $R_{YZ}(t)$  は各々 0 となる。

5 数値計算 路面の凹凸により定常不規則振動している車両が、橋梁の中心に作用した場合の定常応答について考える。従来の解析によれば、車両、橋梁系の伝達関数を  $H(j\omega)$  とすれば、変位応答の分散  $\eta^2$  は次式より得られる。

$$\eta^2 = \frac{1}{2\pi} \int_{-\infty}^{\infty} |H(j\omega)|^2 S_R(\omega) d\omega \quad (23)$$

図 2、図 3 はスパンを 20 m から 100 m とした場合、橋梁の定常応答を解的たため規準化した値を示したものである。図 2 は (23) 式を直接積分したものである。図 3 は共分散方程式による結果である。減衰定数 0.001 の場合、直接積分の方法では急激に変化するが、これは数値積分による計算誤差と考えられる。減衰定数が 0.01 以上になると両法は良好な一致を示す。

非定常な場合の計算結果は講演時に発表する。

#### [参考文献]

- (1) 山田善一、小畠義雄 “昭和 42.12 土木学会論文集”、(2) 小畠義雄  
梶川康男 “1976 年 4 月 土木学会論文集”、(3) 吉村虎藏、彦坂熙  
他、“昭和 50.12. 九大工学集報”、

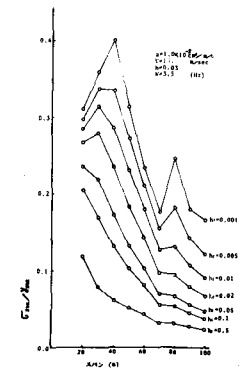


図 2 直接積分による定常応答

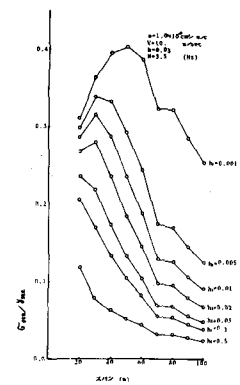


図 3 共分散方程式による定常応答